2024年1月

Jan. 2024

DOI: 10.3969/j.issn.1005-8982.2024.02.008 文章编号:1005-8982(2024)02-0045-08

实验研究·论著

# 慢性丙型肝炎病毒对肝癌细胞静止的 影响及其机制研究\*

罗鸣,杨晋,秦蜀

(西南医科大学附属医院 肝胆外科,四川 泸州 646000)

摘要:目的 探讨慢性丙型肝炎病毒(HCV)通过 PCNA 钳位相关因子(PCLAF)调控肝癌细胞静止的潜在机制。方法 HCV感染后,检测肝癌细胞HUH7的细胞周期分布。HCV感染或不感染后,肝癌细胞进行RNA—seq,使用 siRNA 敲低差异基因并检测细胞周期分布。过表达 PCLAF后检测肝癌细胞的细胞周期分布。过表达 PCLAF后检测肝癌细胞的细胞周期分布。过表达 HCV的非结构蛋白 5A(NS5A)后,检测肝癌细胞PCLAF的表达和细胞周期分布。PCLAF抑制剂  $\alpha$ —常春藤皂苷处理后,检测 HCV 对肝癌细胞周期分布的影响。结果 HCV感染后,肝癌细胞 G0 期和 G1 期细胞分布减少 (P < 0.05),而 S 期和 G2/M 期细胞分布增加 (P < 0.05)。 敲低 PCLAF 后肝癌细胞 G0 期细胞分布增加 (P < 0.05)。 HCV感染的情况下,过表达 PCLAF后肝癌细胞 G0 期细胞分布减少 (P < 0.05)。 过表达 NS5A 后,肝癌细胞 PCLAF mRNA 和蛋白相对表达量升高 (P < 0.05)。 过表达 NS5A 后,肝癌细胞 G0 期和 G1 期细胞分布减少 (P < 0.05),而 S 期和 G2/M 期细胞分布增加 (P < 0.05)。 但过表达 NS5A 的同时敲低 PCLAF后,肝癌细胞的细胞周期分布无显著变化。过表达 NS5A 同时  $\alpha$ —常春藤皂苷处理后,肝癌细胞的细胞周期无显著变化。 过表达 NS5A 同时  $\alpha$ —常春藤皂苷处理后,肝癌细胞的细胞周期无显著变化。 HCV感染同时  $\alpha$ —常春藤皂苷处理后,肝癌细胞的细胞周期无显著变化。 给论 HCV诱导肝癌细胞跨越 G0/G1 期静止,减少细胞分裂时间。 HCV的 NS5A 蛋白通过提高 PCLAF的表达而抑制肝癌细胞静止。 PCLAF抑制剂  $\alpha$ —常春藤皂苷可以阻断 HCV抑制的肝癌细胞静止。

关键词: 肝癌;慢性丙型肝炎病毒;PCNA钳位相关因子;细胞静止;非结构蛋白5A;α-常春藤皂中图分类号: R735.7 文献标识码: A

## Effect of HCV on hepatocellular carcinoma cell quiescence and its underlying mechanism\*

Luo Ming, Yang Jin, Qin Shu
(Department of Hepatobiliary Surgery, Affiliated Hospital of Southwest Medical University,
Luzhou, Sichuan 646000, China)

Abstract: Objective To explore the potential mechanism by which hepatitis C virus (HCV) regulates hepatocellular carcinoma (HCC) cell quiescence through PCNA clamp associated factor (PCLAF). Methods The cell cycle distribution of HCC cell line HUH7 was detected after HCV infection. RNA-seq was performed on HCC cells infected with HCV or not, and the cell cycle distribution was detected following knockdown of differential genes using siRNA or overexpression of PCLAF. After overexpression of HCV nonstructural protein 5A (NS5A), the expression of PCLAF in and the cell cycle distribution of HCC cells were determined. The effect of HCV on the cell cycle distribution of HCC cells was observed after treatment with the PCLAF inhibitor  $\alpha$ -hederin. Results After HCV infection, the percentages of HCC cells in the G0 phase and the G1 phase were decreased (P < 0.05), while

收稿日期:2023-06-30

<sup>\*</sup>基金项目:四川省科技计划项目(No:2023YFQ0101)

<sup>[</sup>通信作者] 秦蜀, E-mail: 15883062343@163.com; Tel: 15883062343

those in the S phase and the G2/M phase were increased (P < 0.05). The percentage of HCC cells in the G0 phase was increased after knockdown of PCLAF (P < 0.05). In the case of HCV infection, the percentage of HCC cells in the G0 phase was decreased after overexpression of PCLAF (P < 0.05). Following overexpression of NS5A, the relative mRNA and protein expressions of PCLAF in HCC cells were increased (P < 0.05), the percentages of HCC cells in the G0 phase and the G1 phase were decreased (P < 0.05), and the percentages of HCC cells in the S phase and the G2/M phase were increased (P < 0.05). However, the cell cycle distribution was not significantly changed after overexpression of NS5A and knockdown of PCLAF. Combined overexpression of NS5A and treatment with  $\alpha$ -hederin and combined HCV infection and treatment with  $\alpha$ -hederin also did not alter the cell cycle distribution of HCC cells. Conclusions HCV induces HCC cells to skip the quiescence in the G0/G1 phase and to reduce the time for cell division. HCV NS5A protein inhibits HCC cell quiescence by increasing the expression of PCLAF, which could be blocked by the PCLAF inhibitor  $\alpha$ -hederin.

**Keywords:** hepatocellular carcinoma; HCV; PCLAF; cell quiescence; NS5A; α-hederin

肝癌是世界第7大常见肿瘤,也是第4大癌症 死亡原因[1]。尽管癌症治疗已取得进展,但肝癌的 治疗选择有限,患者存活率无显著提高。因此,确 定驱动或抑制肿瘤发生的机制对于制订新的肝癌 治疗策略至关重要。体细胞在终末分化时保持静 止状态,这一过程的变化可导致细胞静止退出和过 度增殖,并且参与癌症的发生、发展四。多种基因在 细胞周期中起至关重要的作用,其表达失调与多种 癌症有关,其中PCNA 钳位相关因子(PCNA clamp associated factor, PCLAF)基因表达失调与肝癌细胞 周期失调并跨越细胞静止相关問。慢性丙型肝炎病 毒(hepatitis C virus, HCV)感染与肝癌风险增加有 关<sup>[4]</sup>。尽管丙型肝炎能够治愈,但是HCV相关肝癌 的死亡人数仍占总肝癌死亡人数的29%[5]。然而, HCV感染是否会影响肝癌细胞静止尚不明确。基 于此,本研究旨在探讨HCV通过PCLAF调控肝癌细 胞静止的潜在机制。

#### 1 材料与方法

#### 1.1 细胞系

人肝癌细胞 HUH7 购自浙江美森细胞科技有限公司(货号: CTCC-003-0019),人肝癌细胞 BEL-7404 购自深圳市优里生物科技有限公司(货号: yl-cl-0032)。

#### 1.2 主要试剂和仪器

1.2.1 主要试剂  $\alpha$  - 常春藤皂苷(美国 MedChemExpress 公司, 货号: HY-N0255), DMEM(北京军科弘创生物技术有限公司, 货号: AC10003-500 mL), Lipofectamine 3000(广州群贤科技有限公司, 货号: L3000015), pyronin Y(深圳市优里生物科技有限

公司,货号: C5496-10g),7-氨基放线菌素 D(7-aminoactinomycin,7-ADD)(上海吉至生化科技有限公司,货号: A93190-1mg),RNA 提取试剂盒(上海机纯实业有限公司,货号: JLC2093),逆转录试剂盒(昆明云享汇科技有限公司,货号: EZB-RT2GQ),β-actin抗体(沈阳万类生物科技有限公司,货号: WL01372),PCLAF 抗体(深圳市优里生物科技有限公司,货号: E-AB-53019)。

本研究所有的 siRNA 和 PCLAF 过表达质粒均由 北京擎科生物设计合成。对于过表达质粒,根据美 国国立生物技术信息中心数据库中PCLAF(序列识 别号为NP\_055551.1)和HCV多聚蛋白(序列识别号 为NP\_671491.1)的序列进行密码子优化及全基因合 成,随后使用无缝克隆法连接至PCDNA 3.1 载体(携 带Flag标签)。其中,HCV的多聚蛋白总共表达10个 蛋白质,分别为核心蛋白(Capsid, C)、包膜蛋白1 (Envelop 1, E1)、包膜蛋白2(Envelop 2, E2)、蛋白分子7 (Protein 7, p7)、非结构蛋白2(non-structural protein 2, NS2)、非结构蛋白3(non-structural protein 3, NS3)、非 结构蛋白 4A(non-structural protein 4A, NS4A)、非结构 蛋白4B(non-structural protein 4B, NS4B)、非结构蛋白 5A (non-structural protein 5A, NS5A)、非结构蛋白4B (non-structural protein 5B, NS5B)[5]。根据蛋白质序 列, PCLAF蛋白大小约为28.77 kD, HCV蛋白C、E1、 E2、p7、NS2、NS3、NS4A、NS4B、NS5A、NS5B大小分别 约为7.60、20.78、41.07、6.70、21.29、15.42、5.67、19.84、 40.89和57.80kD。siRNA引物序列见表1。

1.2.2 主要仪器 细胞培养箱(上海川宏实验仪器有限公司,型号:CH-180-SQ),流式细胞仪(德国赛多利斯集团,型号:iQue 3),StepOne Plus 实时 PCR 系

表 1 siRNA 引物序列

基因	引物序列	长度/bp
siTENM1	5'-CCTATGTGATTGCAGTGCATTTGTT-3'	25
siMAP3K9	5'-CCCAAAGAAGAAGGGACGGACGTGG-3'	25
siSESN3	5'-AGCTAGACATCAGTGTTCTTACTTA-3'	25
siRAB7B	5'-GAAACTCATTATCGTCGGAGCCATT-3'	25
siGGA3	5'-AGACCAAGGTTATTGAGCTGCTGTA-3'	25
siCBL	5'-CAGCCACATGCTGGCAGAACT-3'	21
siZNF501	5'-GAATTCCAGCCAAATATCACTCAGA-3'	25
$\operatorname{siMADD}$	5'-CTCTCAAGCGCCTGGTGGACTGCT-3'	22
$\mathrm{siHADHB}$	5'-CCTGCTCACACTGTCACCATGG-3'	25
siPCLAF	5'-GGTGCGGACTAAAGCAGACAGTGTT-3'	25

统(美国赛默飞世尔科技公司,型号:4376600),化学 发光仪(北京德泉兴业商贸有限公司,型号: AI800)。

#### 1.3 方法

1.3.1 病毒感染与细胞培养 人肝癌细胞 HUH7 在高糖 Dulbecco's Modified Eagle's 培养基中培养,添加 10% 胎牛血清、100 nmol/L 非必需氨基酸、100 u/mL 青霉素和 100 μg/mL 链霉素。细胞在 37 ℃、5% 二氧化碳加湿培养箱中培养。传染性 HCV JFH-1 是通过将体外转录的基因组 JFH-1 RNA 转染 HUH7 细胞产生的<sup>[6]</sup>。HCV JFH-1 感染 HUH7 或 BEL-7404 细胞时,感染倍数为 0.1。将含有 PCLAF 的质粒 (pCMV-PCLAF)或 siPCLAF 分别转染到 HUH7 细胞上进行过表达或沉默表达。使用 Lipofectamine 3000 将质粒或 siRNA 转染 HUH7 细胞。研究发现,α-常春藤皂苷可以抑制 PCLAF 的功能<sup>[7]</sup>。因此使用 α-常春藤皂苷作为 PCLAF 的抑制剂,并且 α-常春藤皂苷处理细胞的终浓度为 20 μmol/L。

1.3.2 实验分组 HUH7细胞行HCV感染实验,分为两组:Mock组、HCV组。HUH7细胞行HCV感染或不感染后敲低实验,转染各个基因的siRNA后,分为11个亚组:siNC亚组、siTENM1亚组、siMAP3K9亚组、siSESN3亚组、siRAB7B亚组、siGGA3亚组、siCBL亚组、siZNF501亚组、siMADD亚组、siHADHB亚组、siPCLAF亚组。HUH7细胞行过表达PCLAF实验,分为两组:Vector组、PCLAF组。HUH7细胞行过表达HCV多聚蛋白实验,转染各自过表达质粒,分为11组:Vector组、C组、E1组、E2组、p7组、NS2组、NS3组、

NS4A组、NS4B组、NS5A组、NS5B组。HUH7细胞行过表达 NS5A的同时敲低 PCLAF实验,分为4组:Vector+siNC组、Vector+siPCLAF组、NS5A+siNC组、NS5A+siPCLAF组。对过表达 NS5A的同时α-常春藤皂苷处理实验,分为4组:Vector+DMSO组、Vector+α-Hederin组、NS5A+DMSO组、NS5A+α-Hederin组。对 HCV感染的同时α-常春藤皂苷处理实验,分为4组:Mock+DMSO组、Mock+α-Hederin组。对 HCV+DMSO组、HCV+α-Hederin组。

1.3.3 细胞周期分布的检测 用70% 乙醇在-20 ℃条件下固定胰蛋白酶化细胞 2 h,磷酸盐缓冲盐水洗涤 2次。然后将 1×10<sup>6</sup>个细胞重悬,用 20 μg/mL RNase A和 50 μg/mL 碘化丙啶溶液孵育 30 min。采用流式细胞仪检测不同处理组 HUH7细胞 GO/G1期、S期和G2/期。对于G0期细胞的检测,使用同时期培养的HUH7细胞,用双胸苷阻断法将细胞阻滞在G1/S期。新鲜的乙醇固定细胞与Pyronin Y 1 μg/mL和7-氨基放线菌素 D 5 μg/mL)在 37 ℃条件下作用 45 min,流式分选分析将低 RNA含量的细胞(低 pyronin Y 信号)定义为G0细胞。G1期细胞分布定义为G0/G1期细胞分布减去G0期细胞分布。

1.3.4 实时荧光定量聚合酶链反应 (quantitative real-time polymerase chain reaction, qRT-PCR)检测PCLAF mRNA的表达 使用通用RNA提取试剂盒从 HUH7 细胞中提取细胞总 RNA。对于RNA-seq,将总 RNA 交于深圳华大基因科技有限公司进行测序,根据测序结果选取差异表达最大的 10 个基因进行后续筛选实验。按照逆转录试剂盒说明书将RNA 逆转录为 cDNA,随后采用 SYBR Green PCR Master Mix 和 StepOne Plus 实时 PCR 系统。反应条件:95 ℃预变性 2 min,95 ℃变性 3 s,25 ℃退火2 min,50 ℃延伸 15 min,共计 44 个循环,55 ℃继续延伸 30 s。以 GAPDH 为内参,采用  $2^{-\Delta\Delta G}$  法计算PCLAF mRNA 相对表达量。 qRT-PCR 引物序列见表 2。

表 2 qRT-PCR 引物序列

基因	引物序列	长度/bp
DOLAR	正向: 5'-CCAGGGTAAACAAGGAGACG-3'	1
PCLAF	反向: 5'-CAGGAAGCAGTGGCTTAGGA-3'	1
CARDII	正向: 5'-TGTGGGCATCAATGGATTTGG-3'	21
GAPDH	反向: 5'-ACACCATGTATTCCGGGTCAAT-3'	21

#### 1.3.5 Western blotting 检测 PCLAF 蛋白的表达

使用细胞裂解液对 HUH7 细胞进行裂解,提取总蛋白。蛋白定量变性后,通过 SDS-PAGE 电泳分离样品,然后转移到聚偏二氟乙烯膜上。用 5% 脱脂乳溶液在室温下阻断膜 1 h,与一抗在 4 ℃条件下孵育过夜,然后与酶标二抗在室温下反应 1.5 h。免疫反应条带通过 Super Signal West Pico 化学发光底物显示。用 Image J 软件测量条带密度。数值归一化为GAPDH。一抗分别为抗 GAPDH(1:2 000)、抗 PCLAF(1:1 000)。二抗分别为辣根过氧化物酶偶联的山羊抗兔 IgG(1:10 000)和山羊抗小鼠 IgG(1:50 000)。

#### 1.4 统计学方法

数据分析采用 PRISM 6.0 统计软件。计量资以均数  $\pm$  标准差  $(\bar{x}\pm s)$  表示,比较用 t 检验或方差分析,进一步两两比较用 LSD-t 检验。 P < 0.05 为差异有统计学意义。

#### 2 结果

#### 2.1 HCV 感染抑制肝癌细胞静止

Mock组与HCV组G0期、G1期、S期、G2/M期细胞数量比较,经t检验,差异均有统计学意义(P<0.05);Mock组G0期、G1期细胞数量均高于HCV组,Mock组S期、G2/M期细胞数量均低于HCV组。见表3和图1。

表 3 HCV 感染后肝癌细胞的细胞周期分布  $(^{\wedge}/HP, \bar{x} \pm s)$ 

组别	G0期	G1期	S期	G2/M期
Mock组	$16.54 \pm 1.5$	$46.52 \pm 4.95$	$17.77 \pm 1.5$	$19.17 \pm 2.23$
HCV组	$8.66 \pm 0.72$	$35.28 \pm 4.01$	$24.49 \pm 2.24$	$31.57 \pm 3.20$
t 值	10.592	3.945	5.574	7.109
P值	0.000	0.004	0.000	0.000

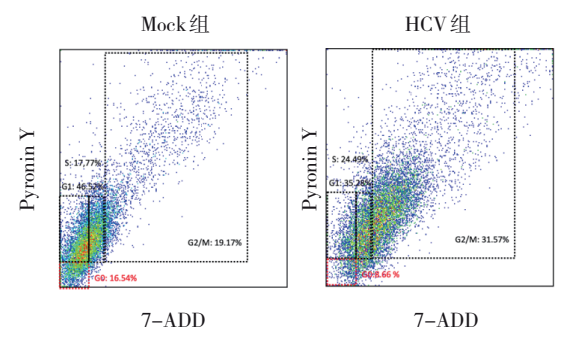


图 1 HCV 感染后肝癌细胞的细胞周期分布

#### 2.2 HCV通过PCLAF抑制肝癌细胞静止

Mock 组与 HCV 组 TENM1、MAP3K9、SESN3、RAB7B、GGA3、CBL、ZNF501、MADD、HADHB、PCLAF相对表达量比较,经 t 检验,差异均有统计学意义(P <0.05); Mock 组 TENM1、MAP3K9、SESN3、RAB7B、GGA3、CBL、ZNF501、MADD、HADHB、PCLAF相对表达量均低于HCV组。见表4和图2。

表 4 HCV 感染肝癌细胞后基因表达差异  $(\bar{x} \pm s)$ 

组别	TENM1	MAP3K9	SESN3	RAB7B	GGA3
Mock组	91.26 ± 9.61	$15.04 \pm 1.80$	$27.2 \pm 2.41$	$42.75 \pm 4.52$	81.9 ± 9.71
HCV组	$599.58 \pm 70.26$	134.01 ± 12.15	$247.19 \pm 21.96$	$313.03 \pm 26.02$	$637.4 \pm 63.51$
t 值	10.139	13.701	14.082	14.465	12.234
P值	0.010	0.005	0.005	0.005	0.007
组别	CBL	ZNF501	MADD	HADHB	PCLAF
组别 Mock组	CBL 76.98 ± 7.91	ZNF501 15.75 ± 1.75	MADD 28.19 ± 2.79	HADHB 41.07 ± 4.13	PCLAF 69.38 ± 8.13
Mock组	76.98 ± 7.91	15.75 ± 1.75	28.19 ± 2.79	41.07 ± 4.13	69.38 ± 8.13

siNC 亚组与 siPCLAF 亚组 G0 期细胞数分别为  $(8.75\pm0.76)$ 、 $(15.77\pm1.60)$ 个/HP, 经 t 检验, 差异有统计学意义 (t=8.862, P=0.000); siNC 亚组 G0 期细胞数低于 siPCLAF 亚组。见表 5。

人 肝 癌 细 胞 HUH7 中, Vector 组 与 PCLAF 组 Mock 中 G0 期 细 胞 数 量 分 别 为 (17.65 ± 1.79)、

 $(8.06 \pm 0.95)$ 个/HP, 经 t 检验, 差异有统计学意义 (t = 10.583, P = 0.000); Vector 组与 PCLAF 组 HCV 中 G0 期细胞数量分别为( $8.58 \pm 0.90$ )、( $4.90 \pm 1.62$ )个/HP, 经 t 检验, 差异有统计学意义(t = 4.440, P = 0.002); Vector组 G0 期细胞数量高于 PCLAF 组。

人肝癌细胞 BEL-7404 中, Vector 组与 PCLAF 组

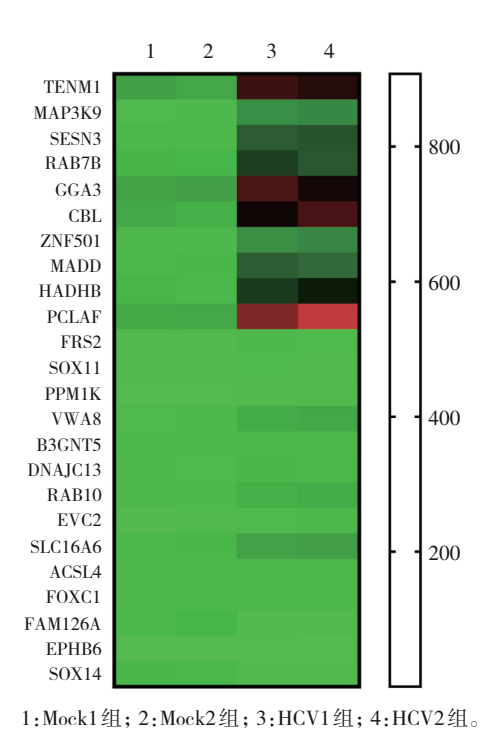


图2 HCV感染肝癌细胞后基因表达差异

Mock 中 G0 期 细 胞 数 量 分 别 为 (18.68 ± 2.15)、 (8.25 ± 0.93) 个/HP, 经 t 检验, 差异有统计学意义 (t =9.956, P =0.000); Vecotr 组 G0 期细胞数量高于

PCLAF 组。Vector 组与 PCLAF 组 HCV 中 G0 期细胞数量分别为(9.03 ± 0.93)、(5.10 ± 0.59)个/HP, 经 t 检验,差异有统计学意义(t =7.979, P =0.000); Vecotr 组G0期细胞数量高于 PCLAF 组。

### 2.3 HCV的NS5A调控PCLAF表达影响肝癌细胞静止

11组 PCLAF mRNA 和蛋白相对表达量比较,经 方差分析,差异均有统计学意义(P<0.05);Vector组 PCLAF mRNA 和蛋白相对表达量均低于 NS5A 组 (P<0.05),见表6和图 3。

Vector + siNC 组、Vector + siPCLAF 组、NS5A+siNC组、NS5A + siPCLAF 组的 G0 期、G1 期、S期、G2/M 期细胞数量比较,经方差分析,差异均有统计学意义(P<0.05); Vector + siNC组 G0 期、G1 期细胞数量均少于 Vector + siPCLAF组(P<0.05), Vector + siNC组 G0 期、G1 期细胞数量均多于 NS5A + siNC组(P<0.05), Vector + siPCLAF组(P<0.05), Vector + siPCLAF组(P<0.05), Vector + siPCLAF组(P<0.05), Vector + siPCLAF组(P<0.05), Vector + siPCLAF组(P<0.05)。 Vector + siPCLAF组(P<0.05)。 Vector + siPCLAF组(P<0.05)。 见表7和图4。

表 5 HCV 感染或不感染后敲低差异表达的基因肝癌细胞的 G0 期细胞分布  $( \uparrow / HP, \bar{x} \pm s)$ 

组别 siNC siTENM1 siMAP3K9 siSESN3 siRAB7B siGGA3 siCBL siZNF501 siMADD siHADHB siPCLAF

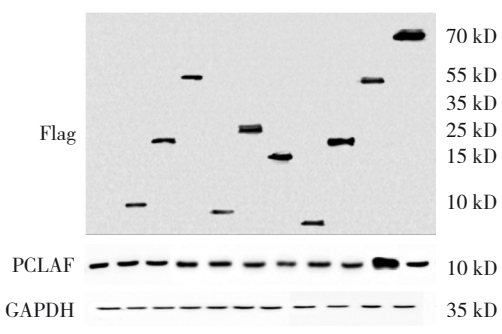
Mock组 16.29 ± 1.33 16.68 ± 1.58 16.8 ± 1.44 16.27 ± 1.87 15.14 ± 1.55 15.67 ± 1.84 16.9 ± 1.46 17.72 ± 1.95 16.71 ± 1.47 15.21 ± 1.5 22.89 ± 1.37

HCV组 8.75 ± 0.76 8.35 ± 1.00 8.37 ± 0.83 9.1 ± 0.93 8.11 ± 0.95 9.32 ± 0.95 7.84 ± 0.67 7.91 ± 0.78 8.46 ± 0.85 9.02 ± 1.06 15.77 ± 1.60

表 6 过表达 HCV 各个蛋白肝癌细胞 PCLAF mRNA 和 蛋白相对表达量比较  $(\bar{x} \pm s)$ 

组别	PCLAF mRNA	PCLAF蛋白
Vector组	$0.04 \pm 0.01$	$1.22 \pm 0.14$
C组	$0.02 \pm 0.01$	$1.39 \pm 0.12$
E1组	$0.06 \pm 0.02$	$1.50 \pm 0.13$
E2组	$0.04 \pm 0.01$	$1.27 \pm 0.14$
p7组	$0.03 \pm 0.01$	$1.17 \pm 0.14$
NS2组	$0.05 \pm 0.01$	$1.22 \pm 0.12$
NS3组	$0.06 \pm 0.01$	$1.27 \pm 0.15$
NS4A组	$0.04 \pm 0.01$	$0.95 \pm 0.11$
NS4B组	$0.04 \pm 0.01$	$1.30 \pm 0.13$
NS5A组	$0.24 \pm 0.03$	$2.81 \pm 0.41$
NS5B组	$0.03 \pm 0.01$	$1.35 \pm 0.13$
F值	4.921	0.019
P值	0.049	0.008

1 2 3 4 5 6 7 8 9 10 11



1:Vector组; 2:C组; 3:E1组; 4:E2组; 5:p7组; 6:NS2组; 7: NS3组; 8:NS4A组; 9:NS4B组; 10:NS5A组; 11:NS5B组。

图3 过表达HCV各个蛋白肝癌细胞PCLAF蛋白的表达

#### 2.4 α-常春藤皂苷阻断 HCV 引起肝癌细胞静止

Vector + DMSO 组、Vector + α-Hederin 组、NS5A +DMSO 组、NS5A + α-Hederin 组的 G0 期、G1 期、S

组别	G0期	G1期	S期	G2/M期
Vector + siNC组	$15.29 \pm 1.36$	$42.03 \pm 3.69$	$16.10 \pm 1.74$	$26.58 \pm 2.84$
Vector + siPCLAF组	$21.54 \pm 2.01^{\dagger}$	$50.74 \pm 5.93^{\dagger}$	$12.08 \pm 1.01^{\dagger}$	$15.64 \pm 1.72^{\dagger}$
NS5A + siNC组	$7.92 \pm 0.66^{\dagger}$	$35.43 \pm 3.45^{\dagger}$	$23.39 \pm 2.59^{\dagger}$	$33.26 \pm 2.66^{\dagger}$
NS5A + siPCLAF组	$15.23 \pm 1.41$	$44.76 \pm 4.00$	$16.35 \pm 1.82$	$23.67 \pm 2.53$
F值	74.608	10.522	31.403	43.521
P值	0.000	0.000	0.000	0.000

表 7 过表达或不过表达 NS5A 与敲低或不敲低 PCLAF 后肝癌细胞的细胞周期分布 (个/HP,  $x \pm s$ )

注: †与 Vector + siNC组比较, P < 0.05。

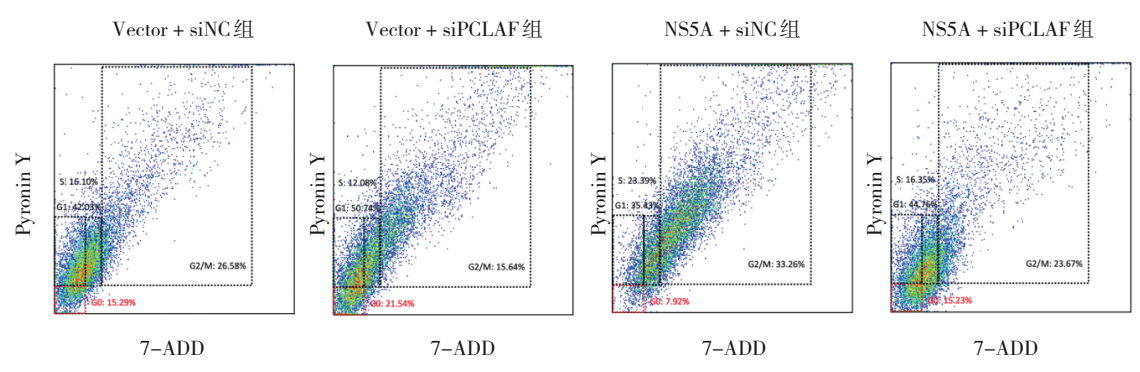


图 4 过表达或不过表达 NS5A 与敲低或不敲低 PCLAF 后肝癌细胞的细胞周期分布

期、G2/M 期细胞数量比较,经方差分析,差异均有统计学意义(P<0.05); Vector + DMSO组 G0 期、G1 期细胞数量均少于 Vector+  $\alpha$  -Hederin组(P<0.05), Vector+ DMSO组 G0 期、G1 期细胞数量均多于 NS5A

+ DMSO 组 (P <0.05), Vector + DMSO 组 S 期、G2/M 期 细胞数量均多于 Vector +  $\alpha$  -Hederin 组 (P <0.05), Vector + DMSO 组 S 期、G2/M 期细胞数量均少于 NS5A + DMSO 组(P <0.05)。见表8和图5。

表 8 过表达或不过表达 NS5A 与  $\alpha$ -常春藤皂苷或不处理后肝癌细胞的细胞周期分布 (个/HP,  $x \pm s$ )

组别	G0期	G1期	S期	G2/M期
Vector + DMSO组	$14.96 \pm 1.79$	$45.85 \pm 4.95$	$16.73 \pm 1.47$	$22.46 \pm 2.26$
$Vector + \alpha-Hederin$ 组	$21.65 \pm 2.51^{\dagger}$	$50.95 \pm 4.08^{\dagger}$	$14.29 \pm 1.28^{\dagger}$	$13.11 \pm 1.36^{\dagger}$
NS5A + DMSO组	$7.79 \pm 0.63^{\dagger}$	$32.23 \pm 3.77^{\dagger}$	$24.82 \pm 2.23^{\dagger}$	$35.15\pm3.46^{\dagger}$
NS5A + $\alpha$ - Hederin组	$16.01 \pm 1.33$	$47.42 \pm 5.40$	$16.86 \pm 1.39$	$19.71 \pm 2.24$
F值	55.520	15.933	39.283	71.254
P值	0.000	0.000	0.000	0.000

注: †与 Vector + DMSO 组比较, P < 0.05。

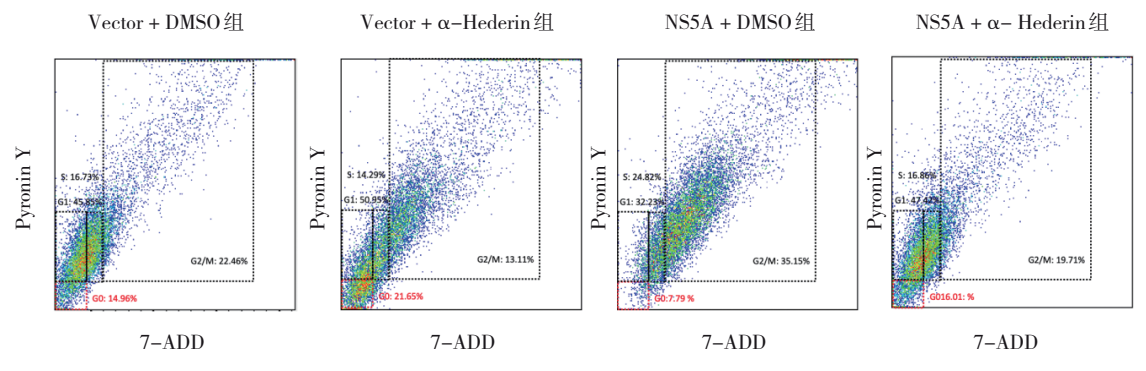


图 5 过表达或不过表达 NS5A 与  $\alpha$ -常春藤皂苷或不处理后肝癌细胞的细胞周期分布

Mock + DMSO 组、Mock + α – Hederin 组、HCV + DMSO 组、HCV + α – Hederin 组的 G0 期、G1 期、S 期、G2/M 期细胞数量比较,经方差分析,差异均有统计学意义(P < 0.05); Mock + DMSO 组 G0 期、G1 期细胞数量均少于 Mock + α – Hederin 组 (P < 0.05), Mock +

DMSO组G0期、G1期细胞数量均多于HCV+ DMSO组, Mock + DMSO组S期、G2/M期细胞数量均多于Mock +  $\alpha$ -Hederin组(P<0.05), Mock + DMSO组S期、G2/M期细胞数量均少于HCV + DMSO组(P<0.05)。见表9和图6。

组别 G0期 G1期 S期 G2/M期 Mock + DMSO组  $16.31 \pm 1.57$ 44 56 + 1 66 17.30 + 1.62 $21.84 \pm 2.04$ Mock + α-Hederin组  $23.45 \pm 2.34^{\dagger}$  $47.68 \pm 0.55^{\dagger}$  $11.94 \pm 0.99^{\dagger}$  $16.93 \pm 2.03^{\dagger}$ HCV + DMSO组  $9.06 \pm 0.98^{\dagger}$  $36.71 \pm 4.02^{\dagger}$  $23.24 \pm 2.01^{\dagger}$  $30.99 \pm 3.39^{\dagger}$ HCV + α-Hederin组  $13.74 \pm 1.55$  $42.61 \pm 4.97$  $15.89 \pm 1.86$  $27.76 \pm 2.97$ F值 63.900 9.7152 39.522 27.291 P值 0.000 0.000 0.000 0.000

表 9 HCV 感染或不感染与  $\alpha$ -常春藤皂苷或不处理后肝癌细胞的细胞周期分布 ( $\gamma$ -

注: †与 Mock + DMSO 组比较, P < 0.05。

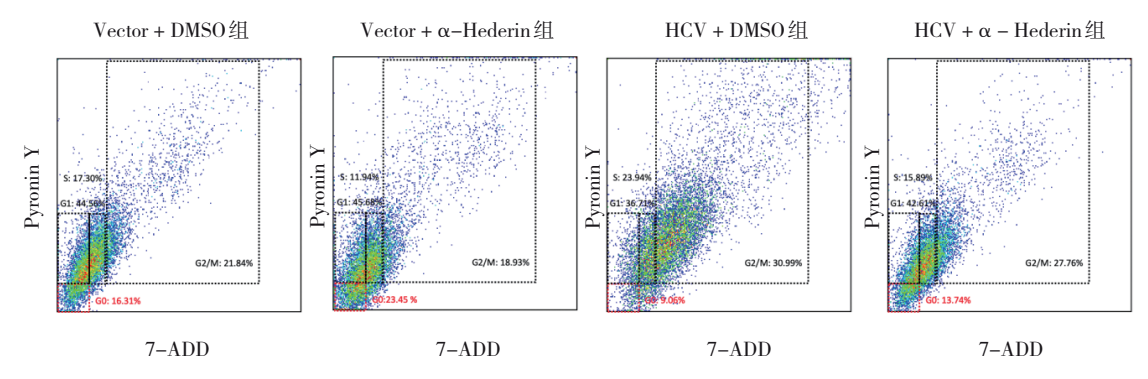


图 6 HCV 感染或不感染与 α-常春藤皂苷或不处理后肝癌细胞的细胞周期分布

#### 3 讨论

肝细胞癌是全世界最常见的癌症之一,也是病死率第3的癌症<sup>[8]</sup>。HCV感染是最常见的慢性感染之一,影响着全世界超过7000万人<sup>[9]</sup>。慢性HCV感染对肝脏造成慢性损伤,最终导致肝硬化和肝细胞癌<sup>[10]</sup>。有趣的是,有报道称HCV感染可能使患者易患某些肝外癌症,如甲状腺癌、肾癌和肝癌<sup>[11]</sup>。因此,了解HCV在癌症发生、发展中的作用对制订新的肝癌治疗策略至关重要。在本研究中,HCV感染后,肝癌细胞G0期和G1期细胞分布减少,而S期和G2/M期的细胞分布增加,提示HCV诱导肝癌细胞跨越G0期静止,减少细胞分裂时间。

本研究结果表明, HCV的 NS5A 蛋白能够促进 肝癌细胞 PCLAF mRNA 和蛋白表达升高; HCV 感染 的情况下,过表达 PCLAF 后肝癌细胞 GO 期细胞分 布减少;同时,敲低 PCLAF 或 PCLAF 抑制剂 α-常春

藤皂苷处理后, HCV 诱导肝癌细胞跨越 GO 期静止的 表型受到抑制。因此, HCV 通过 PCLAF 诱导肝癌细 胞跨越GO期静止。有研究发现,PCLAF能够使肝癌 细胞绕过细胞静止期,促进肺部肿瘤的发生[4],其促 肿瘤作用与本研究结果一致。G0期是细胞处于可 逆细胞周期停滯的一种细胞状态[12]。对多细胞来 说,G0状态是发育所必需的,在发育谱系不同阶段 的细胞,包括干细胞、慢循环细胞和分化的成熟细 胞,在时间或空间上都有 GO 状态[13]。癌细胞跨越 G0 状态后,突破细胞静止状态,进入快速增殖期是 癌症发生、发展的关键[14]。然而,癌细胞也可以共享 G0状态,也称为休眠或静止癌细胞[15]。静止的癌细 胞是解释临床上观察到癌症休眠的一种机制。虽 然停止增殖失控的癌细胞对多细胞生物体是有益 的,但处于休眠状态的同一癌细胞可以在大多数化 疗和放疗中存活下来,并且随着时间推移,可能获 得更多突变,并在重新进入细胞周期时获得转移的潜力<sup>[16]</sup>。因此,细胞静止稳态的失调是癌细胞发生、发展及规避治疗的关键。在肝癌中,HCV的NS5A蛋白引起PCLAF表达改变是造成肝正常细胞和肝癌细胞静止稳态失调的原因之一。

综上所述, HCV 诱导肝癌细胞跨越 GO/G1 期静止,减少细胞分裂时间。HCV 的 NS5A 蛋白通过提高 PCLAF 的表达而抑制肝癌细胞静止。PCLAF 抑制剂 α-常春藤皂苷可以阻断 HCV 抑制的肝癌细胞静止。

#### 参考文献:

- [1] XIA C F, DONG X S, LI H, et al. Cancer statistics in China and United States, 2022: profiles, trends, and determinants[J]. Chin Med J (Engl), 2022, 135(5): 584-590.
- [2] TOMASIN R, BRUNI-CARDOSO A. The role of cellular quiescence in cancer - beyond a quiet passenger[J]. J Cell Sci, 2022, 135(15): jcs259676.
- [3] KIM M J, CERVANTES C, JUNG Y S, et al. PAF remodels the DREAM complex to bypass cell quiescence and promote lung tumorigenesis[J]. Mol Cell, 2021, 81(8): 1698-1714.e6.
- [4] TAGLIAMENTO M, CELLA E, SACCO G, et al. EP08.01-088 direct acting antivirals (DAA) and immune checkpoint inhibitors (ICIs) therapy in patients with lung cancer and hepatitis C[J]. J Thorac Oncol, 2022, 17(S9): S384-S385.
- [5] HUANG D Q, SINGAL A G, KONO Y, et al. Changing global epidemiology of liver cancer from 2010 to 2019: NASH is the fastest growing cause of liver cancer[J]. Cell Metab, 2022, 34(7): 969-977.e2.
- [6] WAKITA T, PIETSCHMANN T, KATO T, et al. Production of infectious hepatitis C virus in tissue culture from a cloned viral genome[J]. Nat Med, 2005, 11(7): 791-796.
- [7] CAO L N, ZHANG Y W, MI J X, et al. α-Hederin inhibits the platelet activating factor-induced metastasis of HCC cells through disruption of PAF/PTAFR axis cascaded STAT3/MMP-2 expression[J]. Pharmacol Res, 2022, 178: 106180.
- [8] HE B J, HU W B, ZHANG K, et al. Image segmentation algorithm of lung cancer based on neural network model[J]. Expert Syst, 2022, 39(3): e12822.
- [9] ALBERTS C J, CLIFFORD G M, GEORGES D, et al. Worldwide

- prevalence of hepatitis B virus and hepatitis C virus among patients with cirrhosis at country, region, and global levels: a systematic review[J]. Lancet Gastroenterol Hepatol, 2022, 7(8): 724-735.
- [10] ABDELMONEM M, WASIM H, ELHUSSENY A, et al. The association between serum hyaluronic acid levels and routine liver function tests in liver fibrotic HCV patients[J]. Am J Clin Pathol, 2022, 158(S1): S118-S119.
- [11] SHEN Y C, HSU H C, LIN T M, et al. H1-antihistamines reduce the risk of hepatocellular carcinoma in patients with hepatitis B virus, hepatitis C virus, or dual hepatitis B virus-hepatitis C virus infection[J]. J Clin Oncol, 2022, 40(11): 1206-1219.
- [12] KADONOSONO T, MIYAMOTO K, SAKAI S, et al. AGE/ RAGE axis regulates reversible transition to quiescent states of ALK-rearranged NSCLC and pancreatic cancer cells in monolayer cultures[J]. Sci Rep, 2022, 12(1): 9886.
- [13] CHAIPUTTANAPUN P, LIRDPRAPAMONGKOL K, THANAUSSAVADATE B, et al. Biphasic dose-dependent G0/ G1 and G2/M cell-cycle arrest by synthetic 2,3-arylpyridylindole derivatives in a549 lung cancer cells[J]. ChemMedChem, 2022, 17(14): e202200127.
- [14] PUSTOVALOVA M, BLOKHINA T, ALHADDAD L, et al. CD44<sup>+</sup> and CD133<sup>+</sup> non-small cell lung cancer cells exhibit DNA damage response pathways and dormant polyploid giant cancer cell enrichment relating to their p53 status[J]. Int J Mol Sci, 2022, 23(9): 4922.
- [15] WIECEK A J, CUTTY S J, KORNAI D, et al. Genomic hallmarks and therapeutic implications of G0 cell cycle arrest in cancer[J]. Genome Biol, 2023, 24(1): 128.
- [16] BI L, XIE C L, JIAO L J, et al. CPF impedes cell cycle re-entry of quiescent lung cancer cells through transcriptional suppression of FACT and c-MYC[J]. J Cell Mol Med, 2020, 24(3): 2229-2239.

(童颖丹 编辑)

本文引用格式: 罗鸣, 杨晋, 秦蜀. 慢性丙型肝炎病毒对肝癌细胞静止的影响及其机制研究[J]. 中国现代医学杂志, 2024, 34(2): 45-52.

Cite this article as: LUO M, YANG J, QIN S. Effect of HCV on hepatocellular carcinoma cell quiescence and its underlying mechanism[J]. China Journal of Modern Medicine, 2024, 34(2): 45-52.